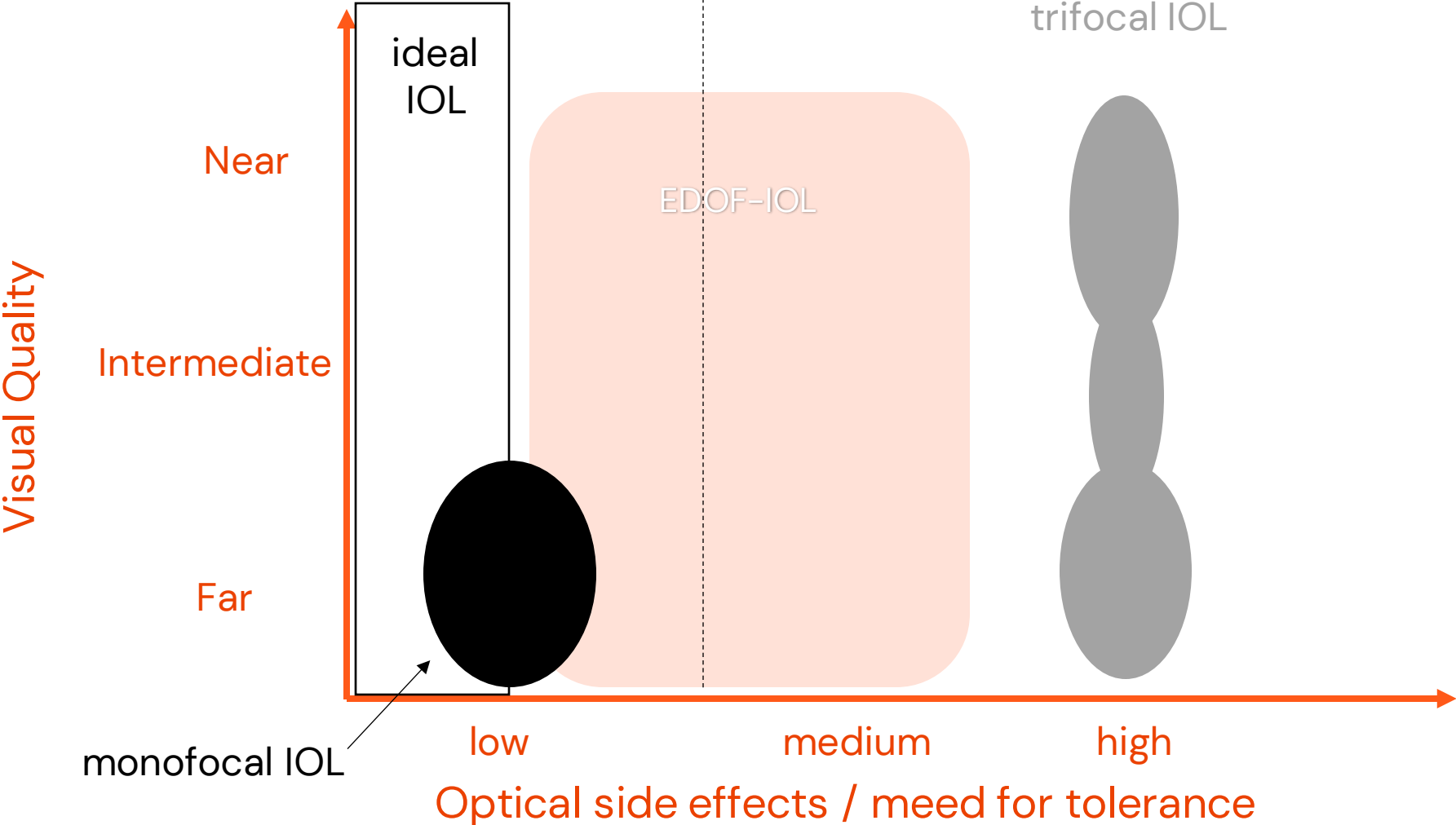
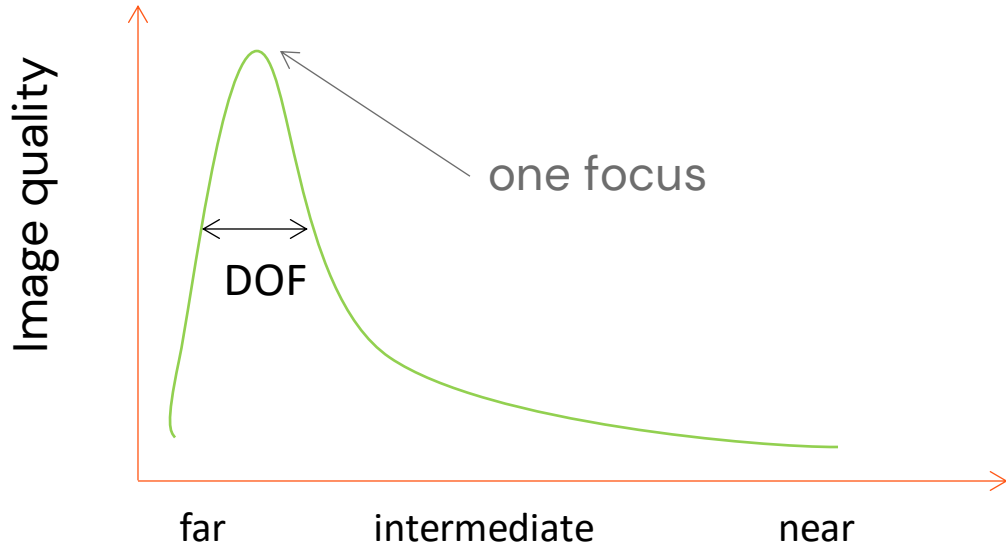


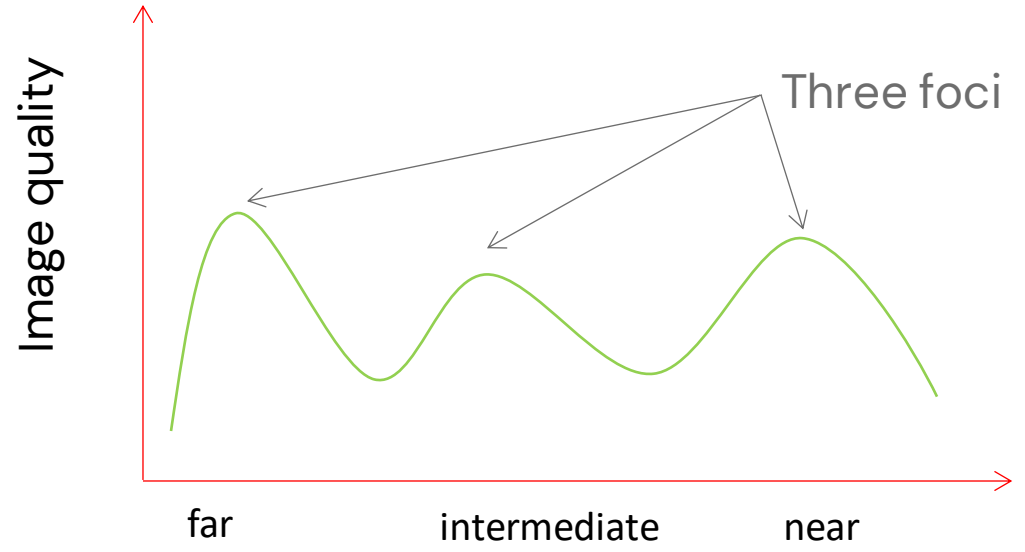
Why EDOF-IOL?



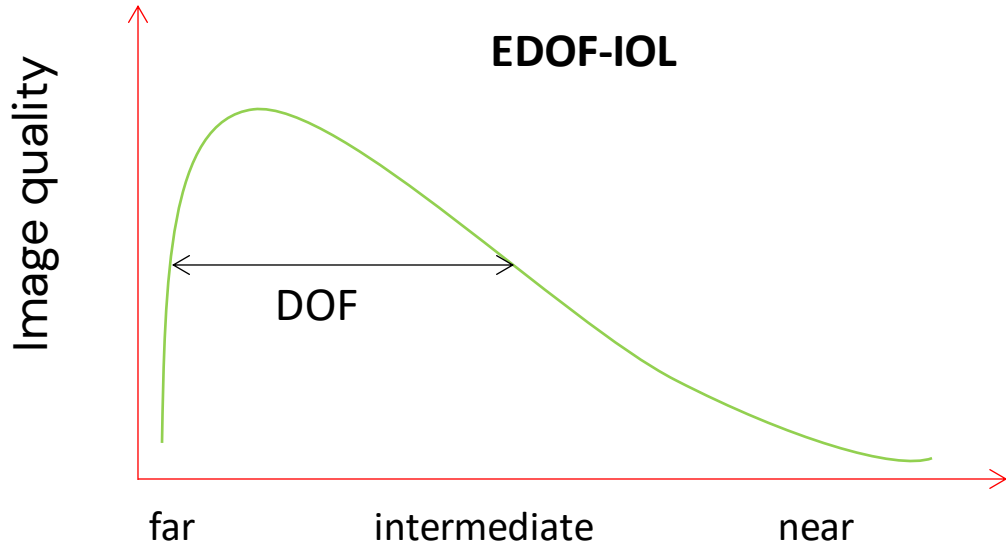
monofocal IOL



trifocal IOL

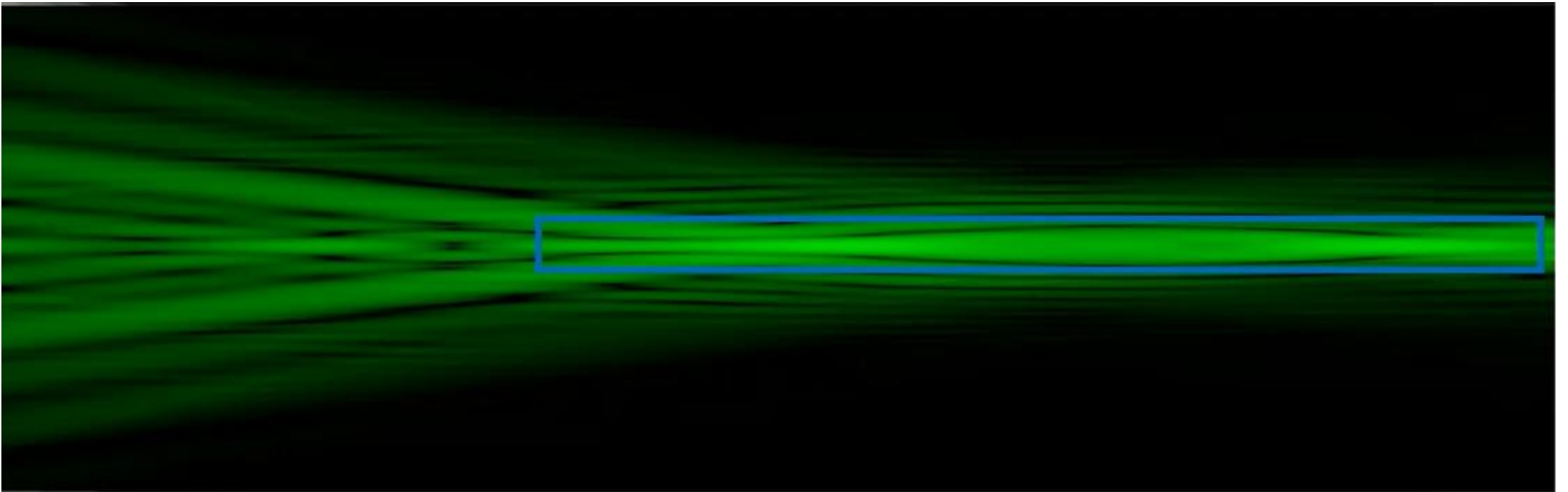


EDOF-IOL



Wavefront manipulating EDOF lens

„The wavefront linking EDOF technology creates an elongated focus through far and intermediate distances by utilizing carefully chosen wavefront forming elements.“



Wavefront manipulating EDOF lens

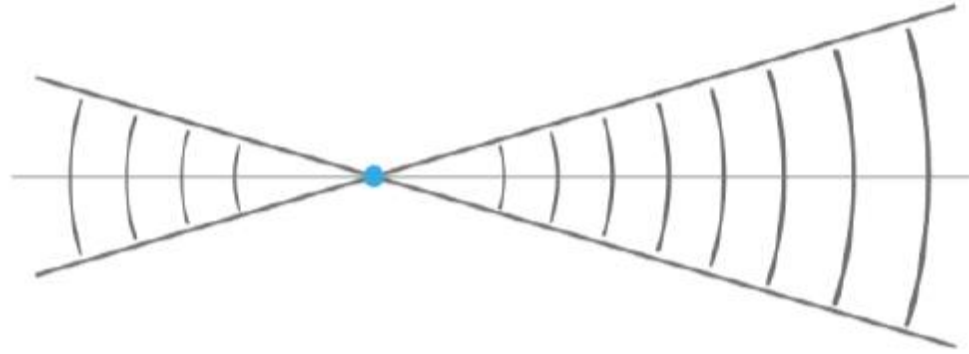
We are familiar with the optical principles of **refraction**, **diffraction** and **aberration**. However, there are many other optical principles that are used frequently and in many fields outside optometry and ophthalmology. These include the generation of an pseudo-non-diffractive beams (PNDB) by wavefront shaping. A pseudo-non-diffractive beam is characterised by an almost constant light intensity along a limited propagation distance. The intensity distribution is like that of a lightsabre.



These optical principles have many common applications, for example in materials processing. Also OCTs and excimer lasers use these technologies.

PNDB

refracted or diffracted beam



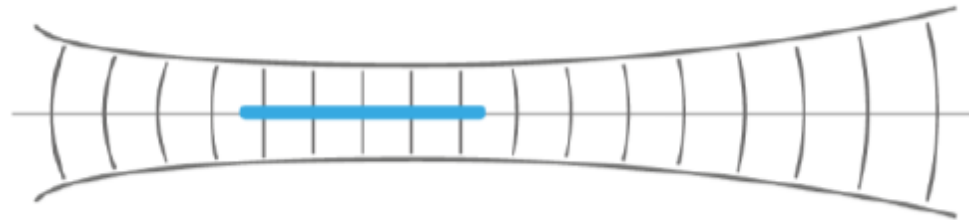
Focal point

Non-diffractive beam



Infinite focus line
(theoretical concept)

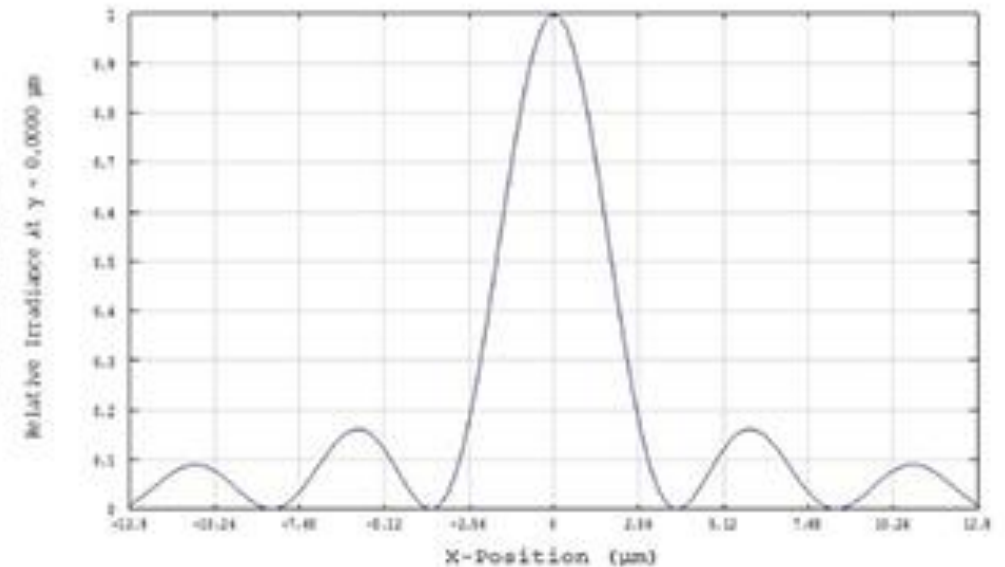
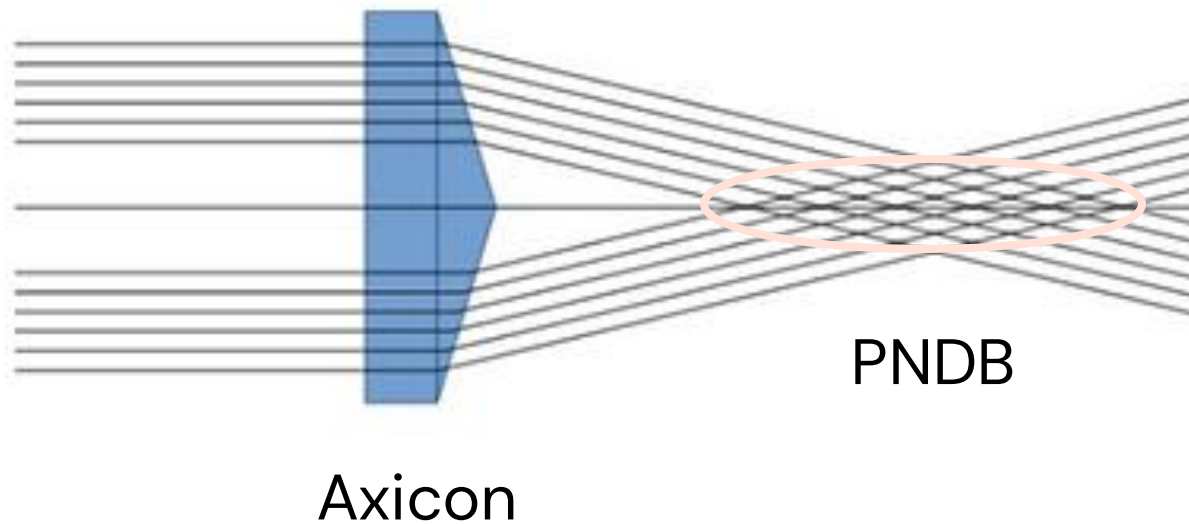
pseudo-non diffractive beam (PNDB).



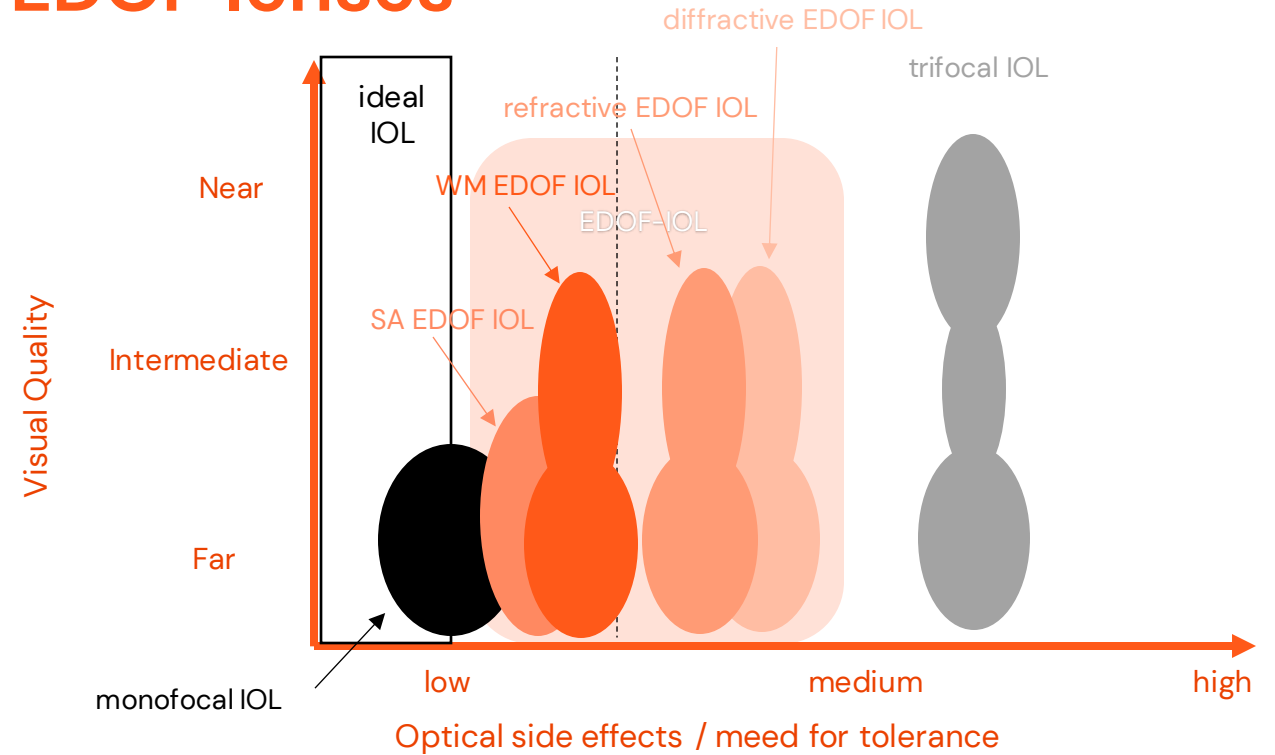
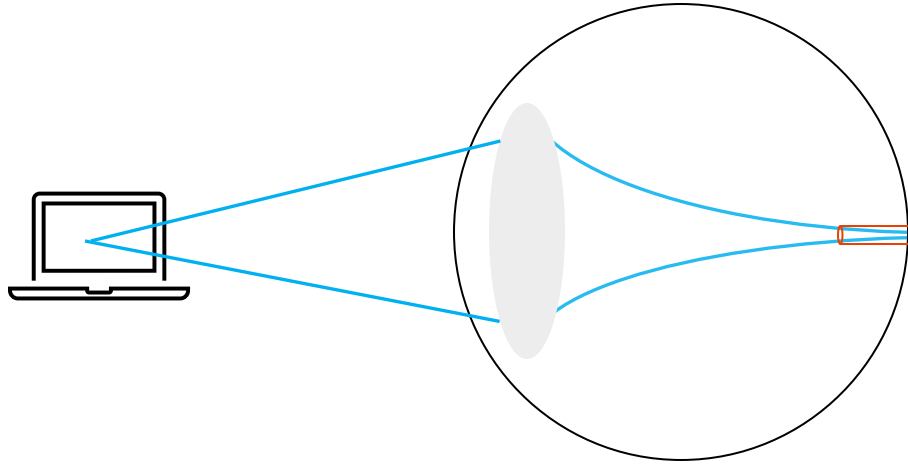
limited focus line
(continuous intensity over a certain distance)

PNDB

There are several methods to create a PNDB. From the point of view of geometrical optics, for example, an axicon produces such a sword beam. An axicon is a special, conically ground lens



Wavefront manipulating (WM) EDOF lenses



Pro

- High depth of focus
- Low optical side effects

Con

- Complex manufacturing
- Lower image quality compared to aspherical monofocal

Wavefront manipulating EDOF lenses



1stQ
Basis Z EDOF

Alcon
IQ Vivity



Medicontur
ELON

SAV-IOL
LUCIDIS
EDEN

| Manufacturer | 1stQ | Alcon AcrySof | Medicontur | SAV-IOL | SAV-IOL |
|-------------------|-------------------------------|--|-------------------------------|---|---|
| Modell | Basis Z EDOF | IQ Vivity | ELON | LUCIDIS | EDEN |
| Category 0 | EDOF | EDOF | EDOF | EDOF | EDOF |
| Category 1 | mono-EDOF | mono-EDOF | mono-EDOF | mono-EDOF | EDOF |
| Category 2 | Hybrid MF/EDOF | Hybrid MF/EDOF | Hybrid MF/EDOF | Hybrid MF/EDOF | Hybrid MF/EDOF |
| Category 3 | refractive/EDOF | refractive/EDOF | refractive/EDOF | refractive/EDOF | refractive-diffractive/EDOF |
| Concept | refractive | refractive | refraktiv | refractive | diffractive |
| Optic | Wavefront Linking-Technologie | Aspherical anterior surface with wave-forming technology | Wavefront Linking-Technologie | „Instant Focus“. Central zone for near and intermediate | „Instant Focus“. Central zone for near and intermediate + diffractive arrey |
| Addition | - | 2.0 D | - | 3.0 D | 3.0 D |
| Material | hydrophobic | hydrophobic | hydrophobic | hydrophilic | hydrophilic |
| Blulight filter | yes | yes (/401 nm) | yes | no (/370 nm) | no (/370 nm) |
| Haptic design | Z loop | C loop | | closed C loop | closed C loop |
| Angulation | 0° | 0° | 0° | 0° | 0° |
| Optic size | 6.0 mm | 6.0 mm | 6.0 mm | 6.0 mm | 6.0 mm |
| overall diameter | 13.0 mm | 13.0 mm | 13.0 mm | 10.8 / 12.4 mm | 10.8 / 12.4 mm |
| refract. Indiex | 1.47 | 1.55 | 1.47 | 1.457 | 1.457 |
| ABBE number | 58 | 37 | 58 | 49 | 49 |
| preloaded | yes | no | yes | no | no |
| incision size | 2.2 mm | 2.2 mm | 2.2 mm | 2.2 mm | 2.2 mm |
| standard range | 10-30 D (0.5) | 15-25D (0.5) | 8-30 D (0.5) | 5-30 D (0.5) | 5-30 D (0.5) |
| extended range | 31-35 D (1.0) | | 31-35 D (1.0) | | |
| toric available | no | yes | no | yes | yes |

BASIS Z ED OF

1stQ

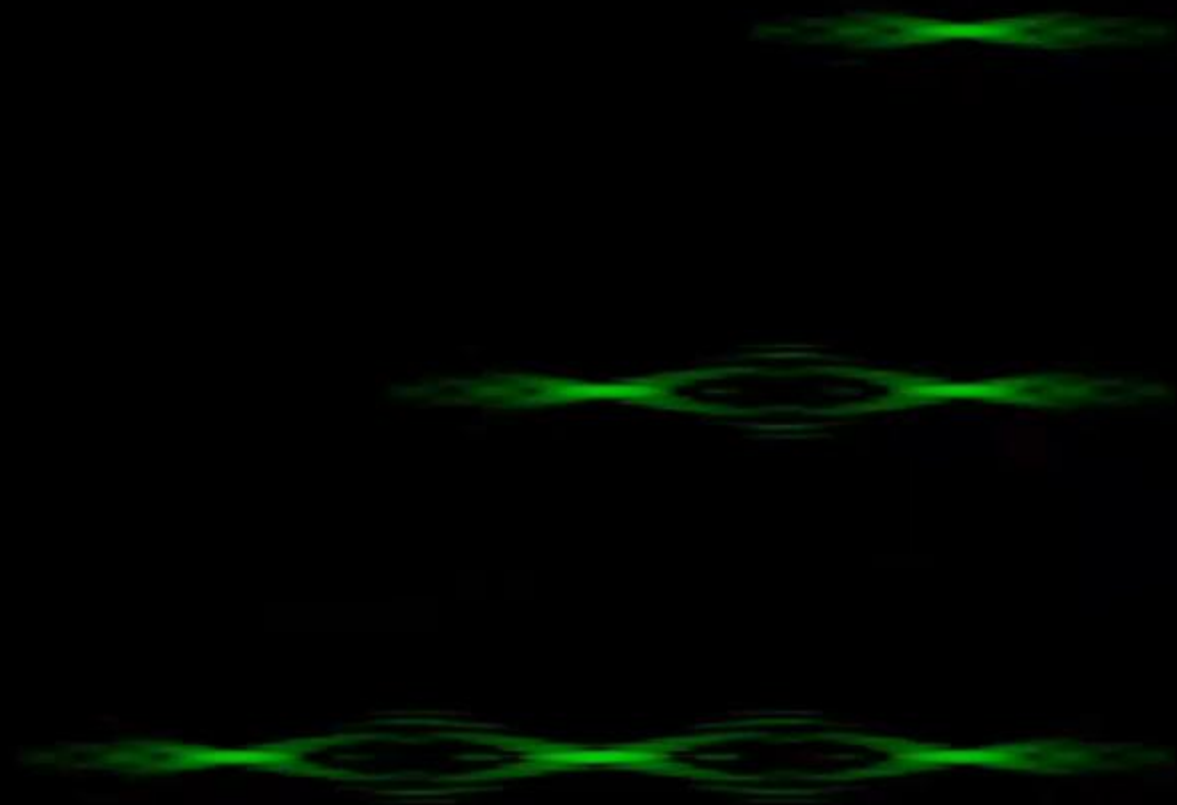


MEDICONTUR TECHNOLOGY – WAVEFRONT LINKING

Base radius

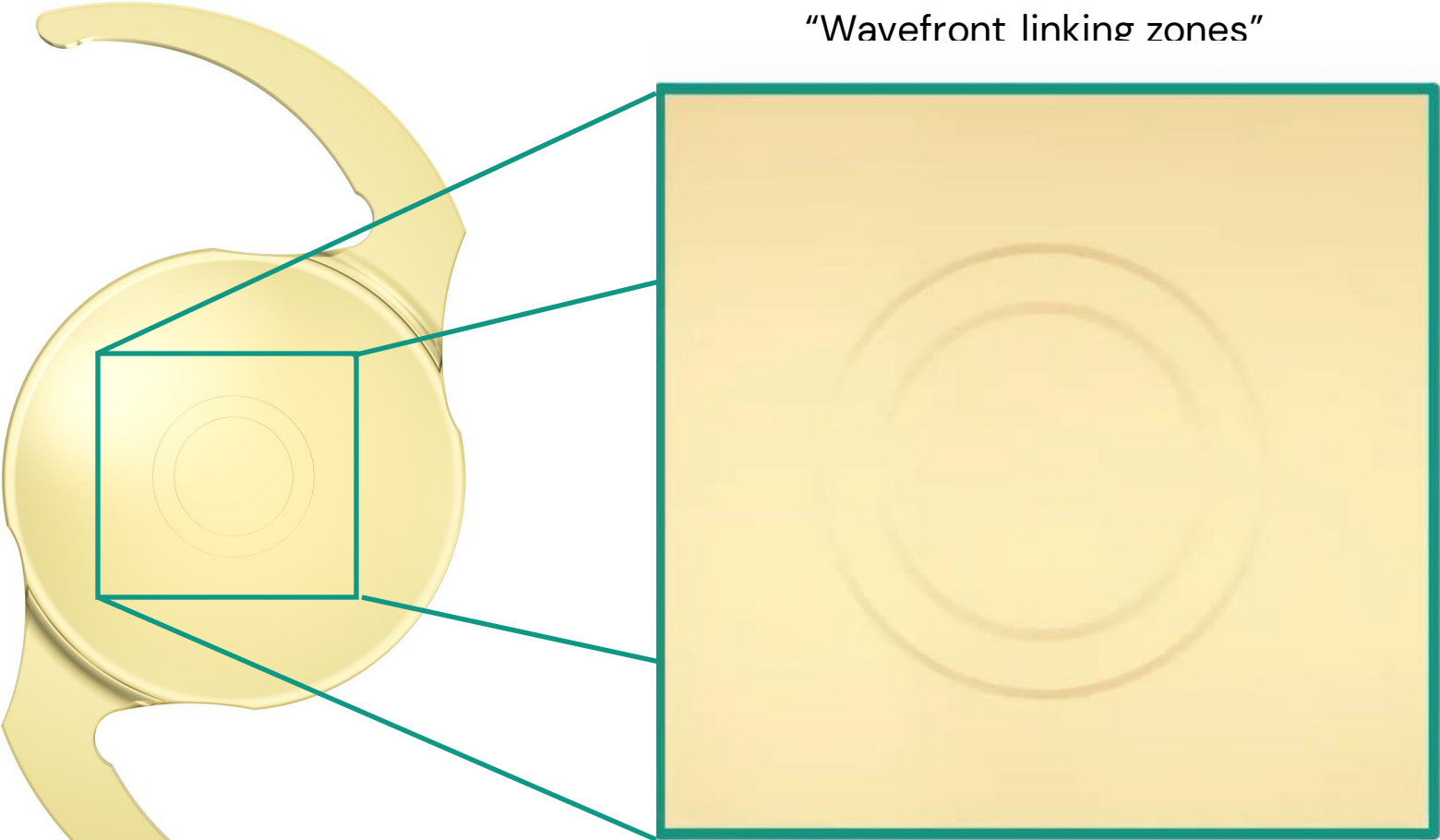
Base radius
+ 1 refractive zone

Base radius
+ 2 refractive zones

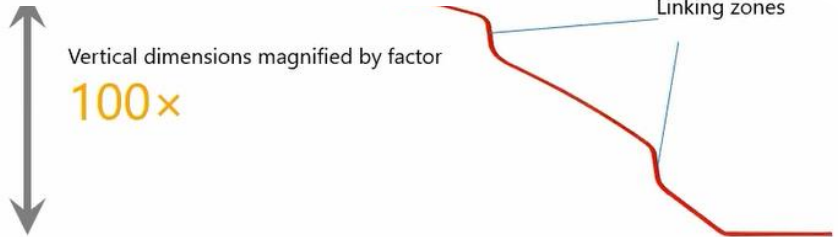
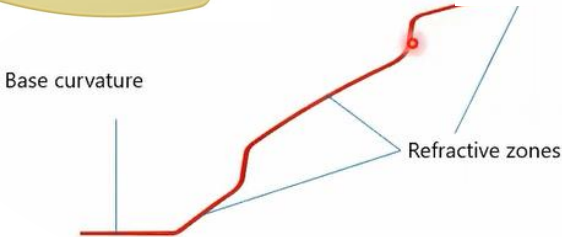


BASIS Z ED OF

1stQ



"Wavefront linking zones"



STUDY SETUP

Ethic
No.: Boglarka Sandor
Date: 07-07-2021

INVESTIGATORS



JÓZSEF GYŐRY, MD
Head of Ophthalmology Dept.
Szent Donát Hosiptal; Várpalota
Founder and CEO of Retinaszervíz Private Clinic



GÁBOR NÉMETH, MD, PhD
Head of Ophthalmology Dept.
B.A.Z. Megyei Central County Hosiptal; Miskolc



NORBERT PESZTENLEHRER, MD
Head of Ophthalmology Dept.
Petz Aladár Central County Hosiptal; Győr

DESIGN



- Multicentric
- Prospective
- Comparative (877PEY vs. 877PAY)
- Randomized
- Planned duration: August 2020– December 2022

- 100 patients / 200 eyes (50 patients / 100 eyes / group)
- Cataract patients
- Preop corneal Cyl <1.0 D
- Binocular implantation with the same IOL model
- Follow-up: 12 months

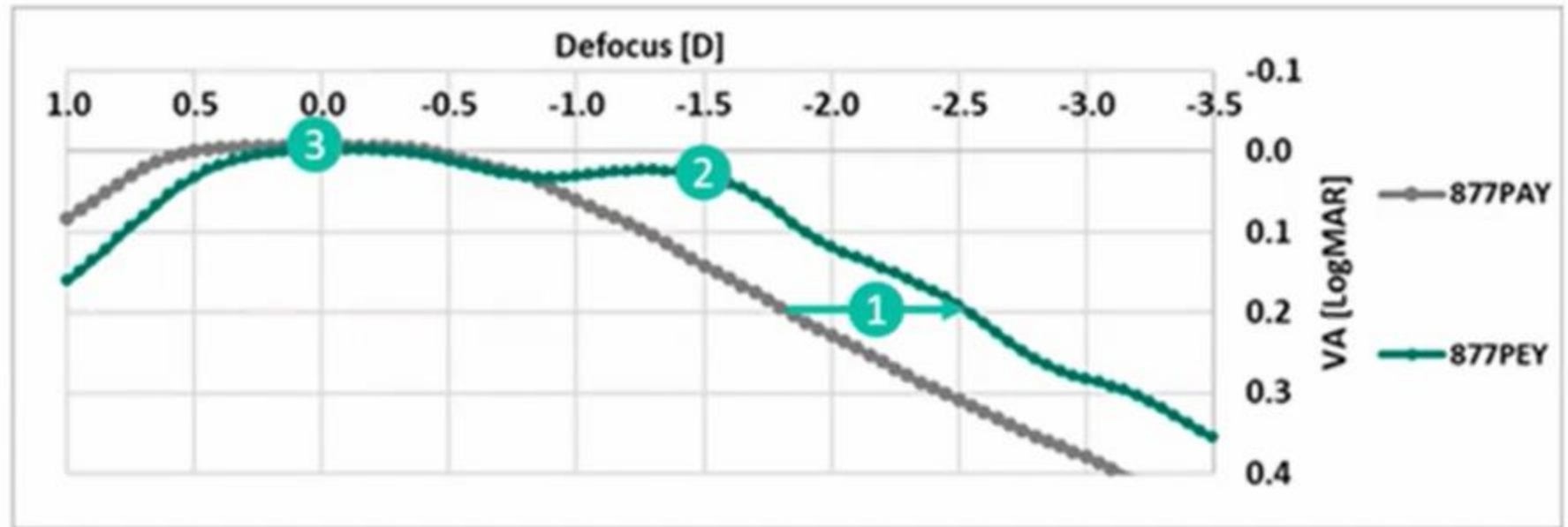
Presbyopia correcting IOL - EDoF

THE NATURAL AGING OF THE CRYSTALLINE LENS

ANSI criteria to define EDoF IOLs

| | | |
|-------------------------|---|---|
| Depth of focus | ≥ 0.5 D greater than monofocal | 1 |
| DCIVA (at 66 cm) | Superior to a monofocal | 2 |
| DCIVA | ≥ 0.2 logMAR (0.63 decimal) in 50% of eyes | |
| CDVA | Non-inferior to a monofocal (0.1 logMAR) | 3 |

No criteria regarding visual disturbances for EDoF IOLs



MONTH 1

| ELON 877PEY (EDoF) | Mean | Min - Max | 877PAY (Mono) | Mean | Min - Max | p=* |
|-------------------------------|-------------|------------------|----------------------|-------------|------------------|---------------|
| UDVA (logMAR) | 0.06 | 0.52 ; -0.20 | UDVA (logMAR) | -0.01 | 0.10 ; -0.08 | 0.4219 |
| CDVA (logMAR) | 0.06 | 0.30 ; -0.08 | CDVA (logMAR) | -0.02 | 0.00 ; -0.08 | 0.1518 |
| UIVA (logMAR) | 0.07 | 0.22 ; -0.08 | UIVA (logMAR) | 0.41 | 0.82 ; -0.08 | 0.0008 |
| UNVA (logMAR) | 0.23 | 0.49 ; 0.00 | UNVA (logMAR) | 0.58 | 1.00 ; 0.20 | 0.0018 |

MONTH 3

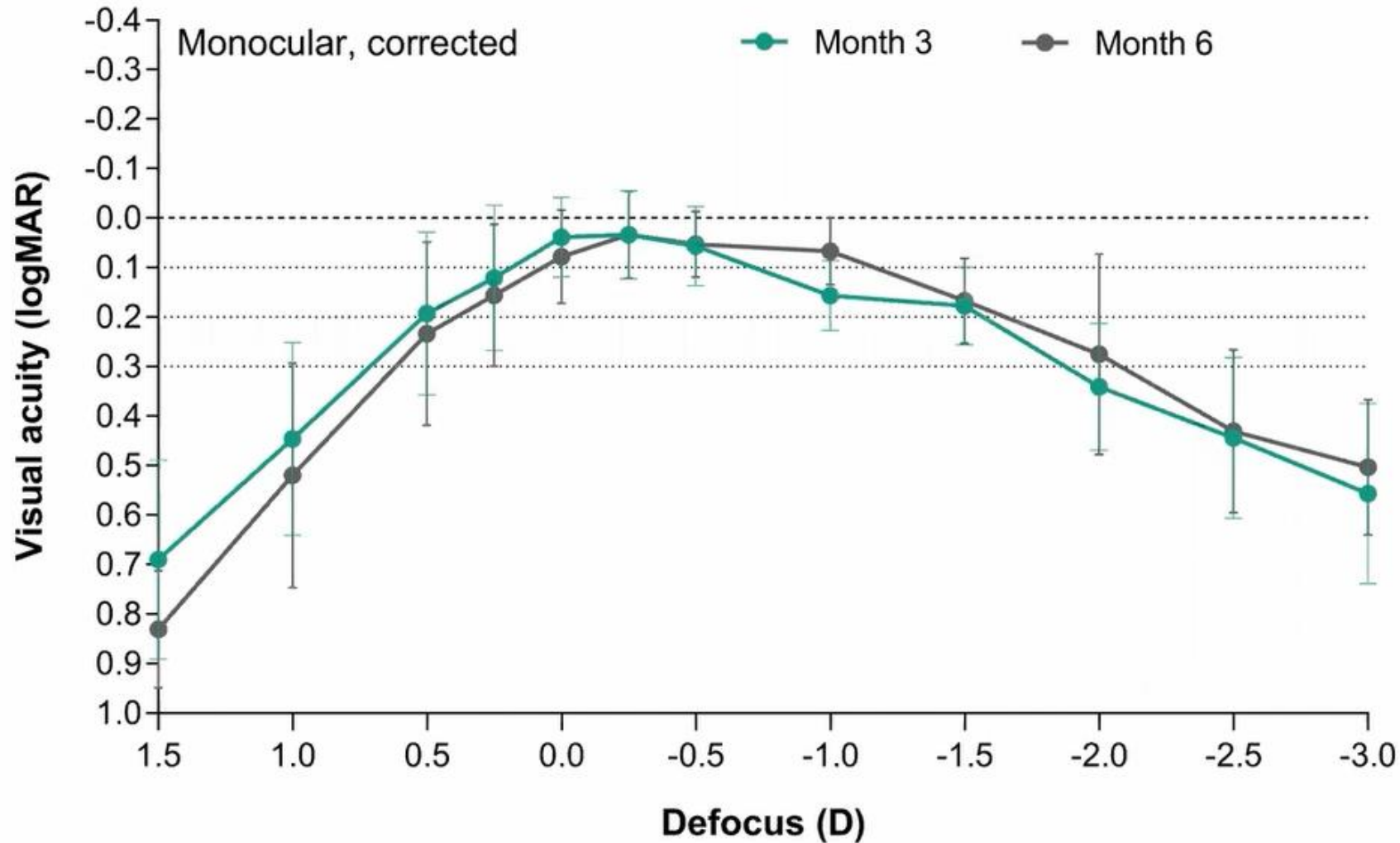
| ELON 877PEY (EDoF) | Mean | Min - Max | 877PAY (Mono) | Mean | Min - Max | p= |
|-------------------------------|-------------|------------------|----------------------|-------------|------------------|---------------|
| UDVA (logMAR) | 0.01 | 0.15 ; -0.08 | UDVA (logMAR) | 0.04 | .22 ; -0.08 | 0.8670 |
| CDVA (logMAR) | 0.00 | 0.12 ; -0.08 | CDVA (logMAR) | 0.00 | 0.00 ; 0.00 | >0.9999 |
| UIVA (logMAR) | 0.11 | 0.52 ; -0.08 | UIVA (logMAR) | 0.36 | 0.82 ; 0.02 | 0.0353 |
| UNVA (logMAR) | 0.27 | 0.70 ; 0.00 | UNVA (logMAR) | 0.64 | 1.00 ; 0.20 | 0.0330 |

BINOCULAR VISUAL ACUITY – MONTH 3 Boglark

| 877PEY (EDoF) | Mean | Min - Max | 877PAY (Mono) | Mean | Min - Max | p= |
|-----------------------|-------------|---------------|-----------------------|-------------|--------------|---------------|
| UDVA (Month 3) | -0.08 | -0.08 ; -0.08 | UDVA (Month 3) | -0.04 | 0.00 ; -0.08 | 0.0659 |
| UIVA (Month 3) | 0.02 | 0.22 ; -0.08 | UIVA (Month 3) | 0.32 | 0.52 ; 0.12 | 0.0270 |
| UNVA (Month 3) | 0.18 | 0.40 ; 0.00 | UNVA (Month 3) | 0.50 | 0.70 ; 0.30 | 0.0190 |

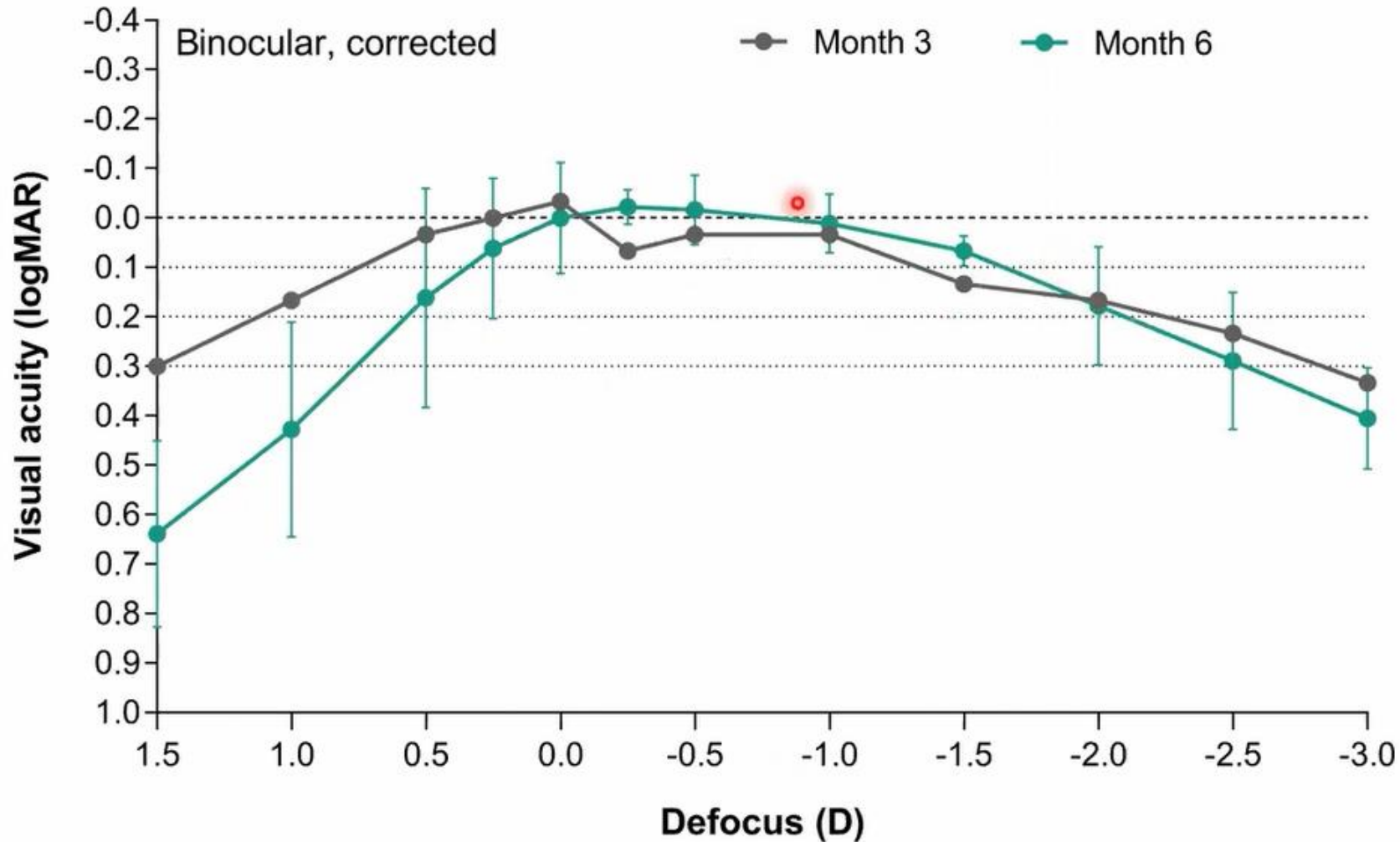
* Non-parametric Mann-Whitney test

VISUAL ACUITY DEFOCUS CURVE (monocular)



Corrected; Photopic
Month 3 n= 13 eyes
Month 6 n= 12 eyes

VISUAL ACUITY DEFOCUS CURVE (binocular)

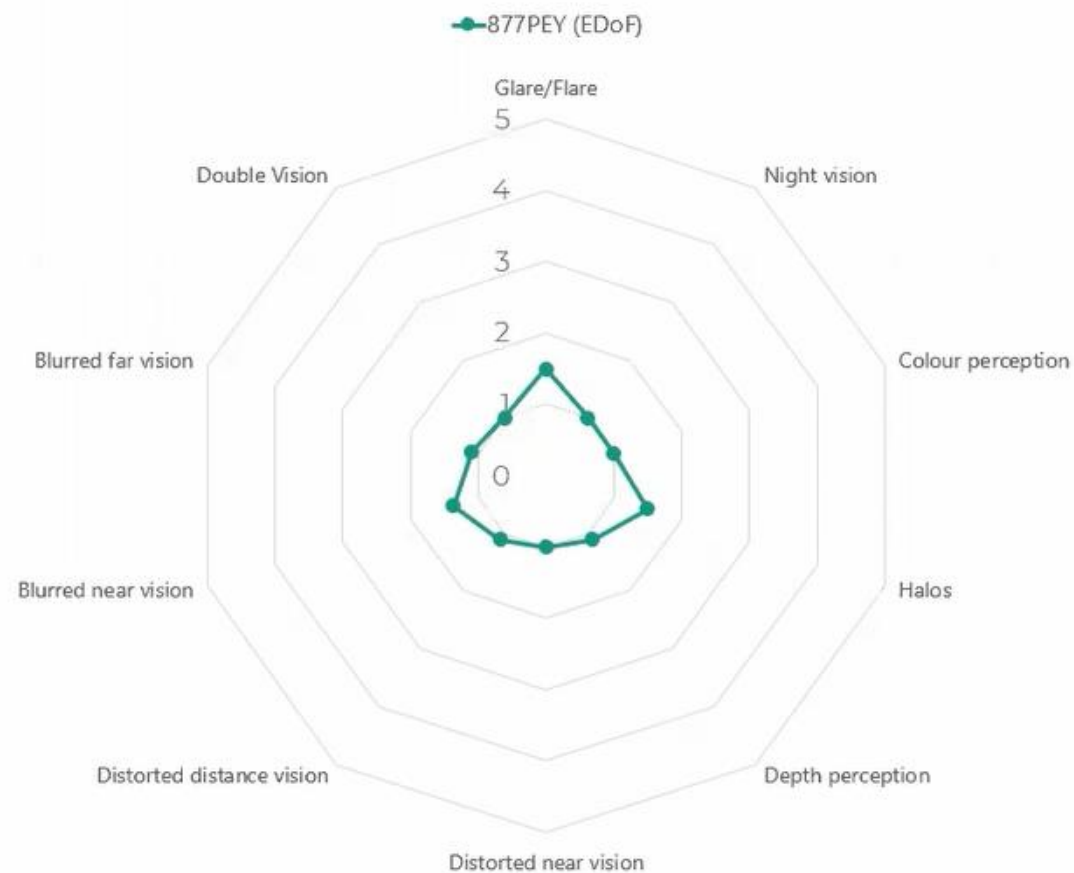


Corrected; Photopic
Month 3 n= 1 patient
Month 6 n= 6 patients

VISUAL FUNCTIONS, DIFFICULTIES

Month 3

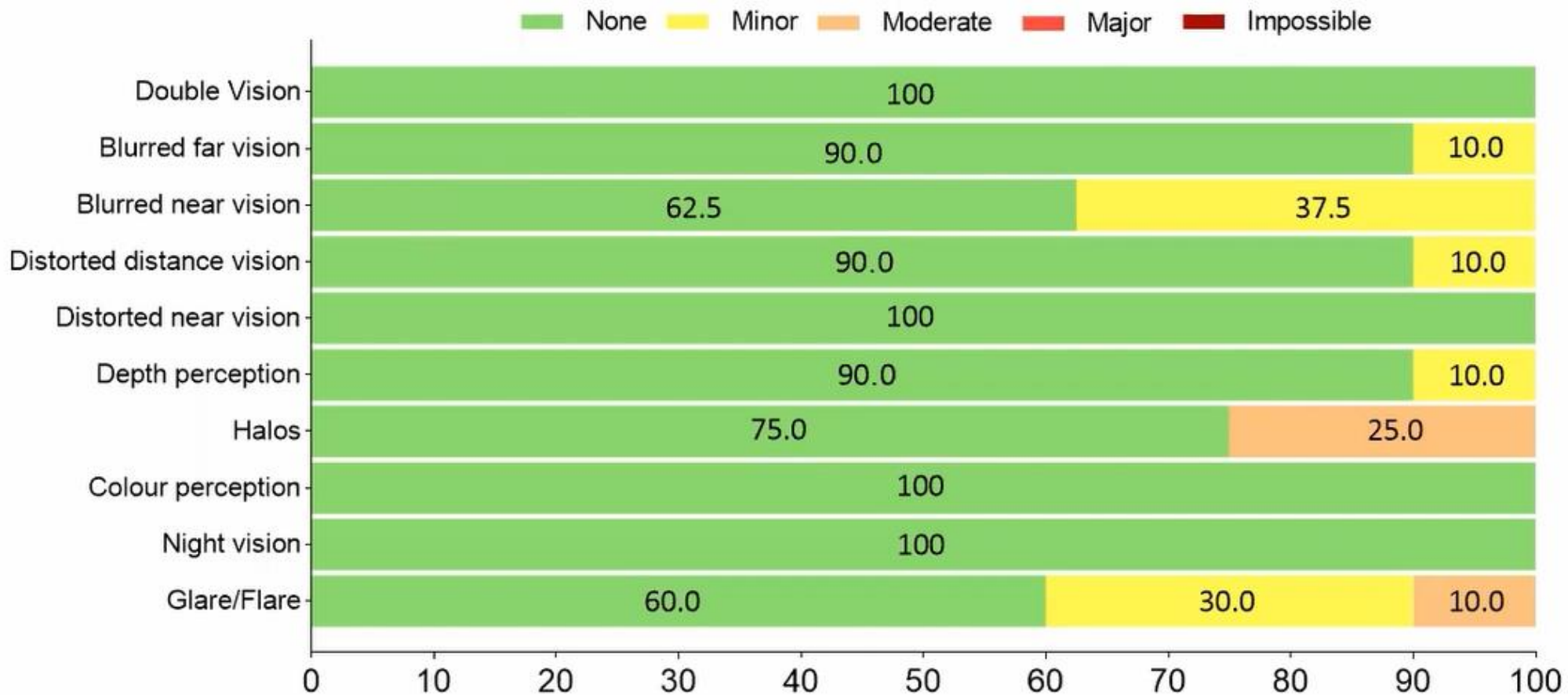
ELON 877PEY n = 11 patients



VISUAL FUNCTIONS, DIFFICULTIES

Month 3

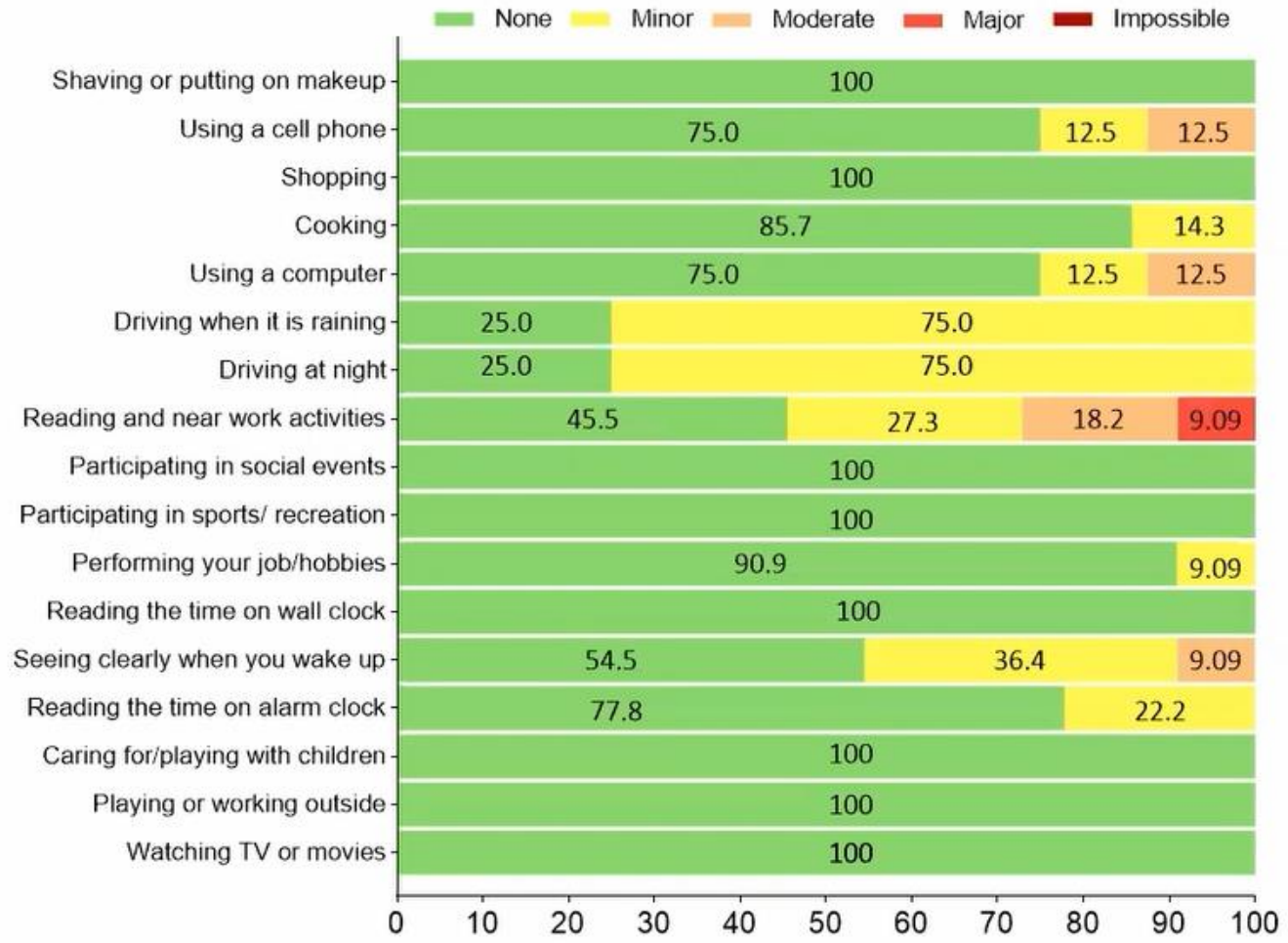
ELON 877PEY n = 11 patients



VISUAL FUNCTIONS, DIFFICULTIES

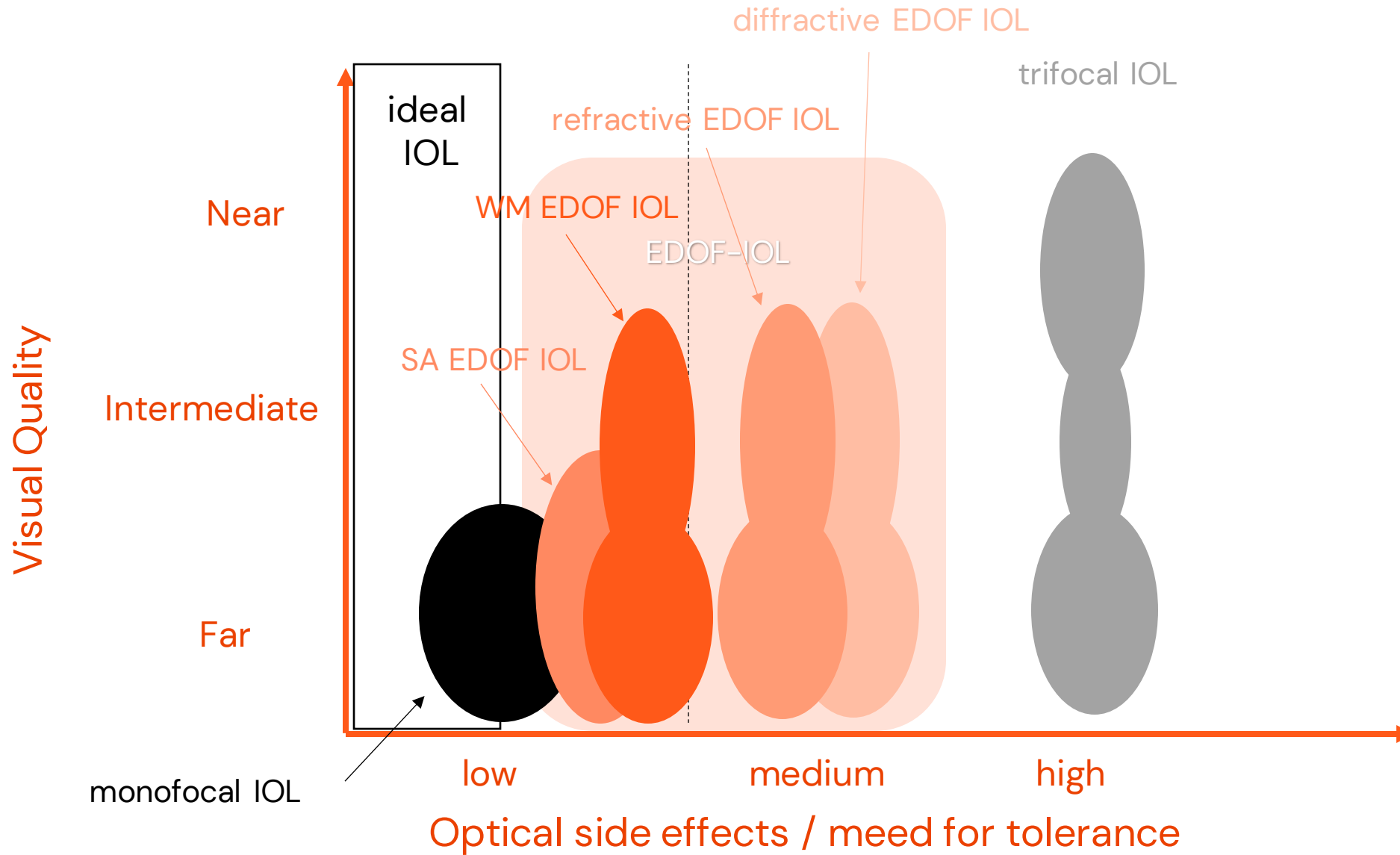
Month 3

ELON 877PEY n = 11 patients



EDOF Market overview

EDOF lenses



EDOF-IOL

Summary

Pinhole

AcuFocus
IC-8

Morcher
XtraFocus

Diffractive

J&J
Tecnis
Symfony

Santen
Xact ME4

Zeiss
AT LARA

Segment

Teleon
Acunex
Vario

Teleon
Lentis
Comfort

Teleon
Femtis
Comfort

Refractive

Spherical aberration

B+L
Lux Smart

Cutting Edge
Synthesis +

Ophthalmic Pro
ZOE

Hoya
Vivinex Impress

PhysIOL
IsoPure 123

Rayner
RayOne EMV

Sifi
Mini Well
Ready

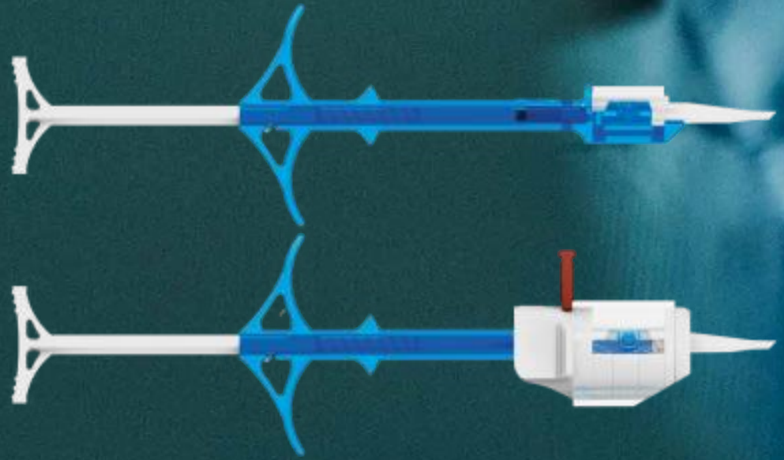
WM (Wavefront manipulating)

1stQ
Bais Z EDOF

Alcon
IQ Vivity

Medicontur
ELON

SAV-IOL
Lucidis



Z-Felix POB-MA

hydrophobe, vorgeladene IOL

1st Q (Medicontur)



Z-Flex HB-Material: SEMTE

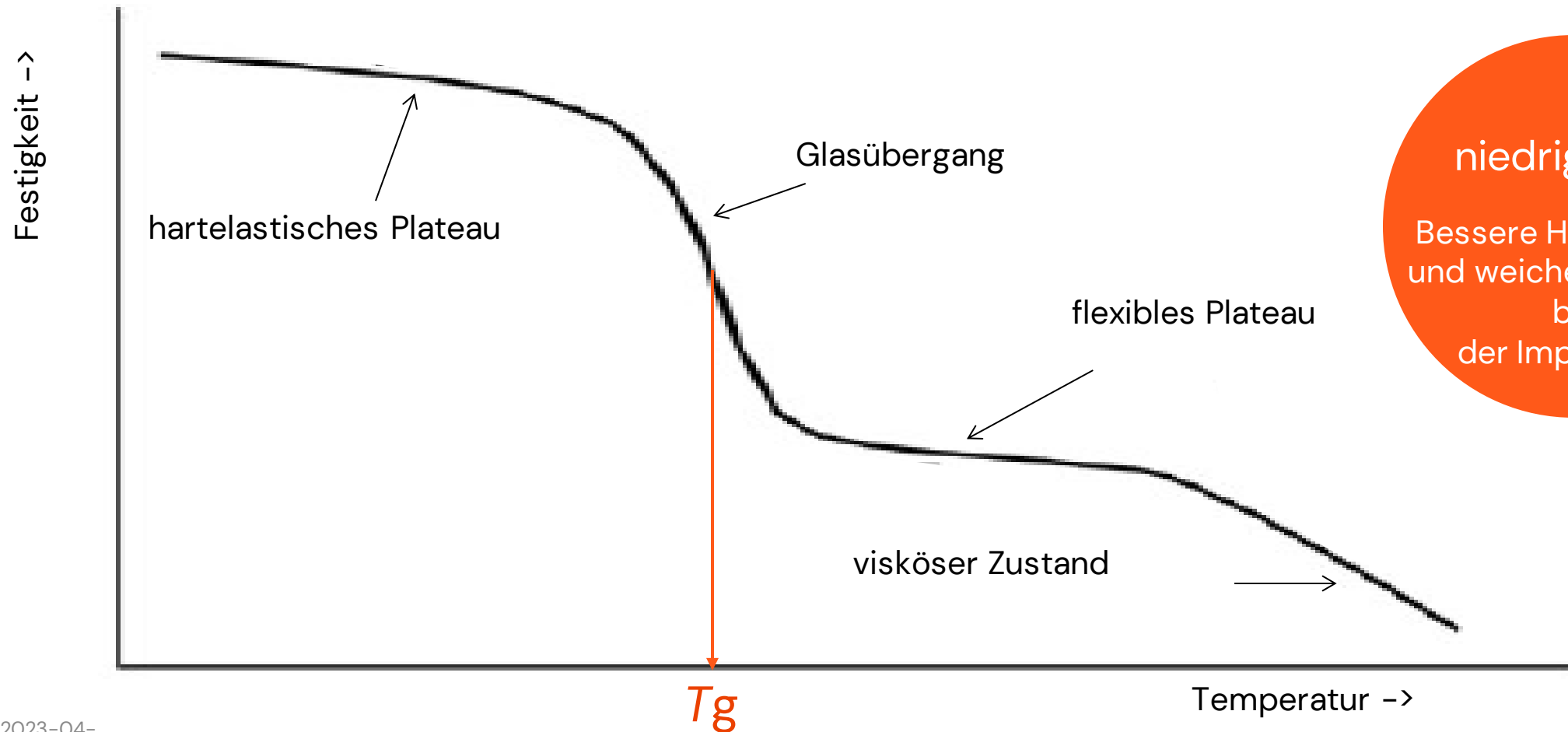
hydrophobes Material von MediconTur

- Eigenes Material von MediconTur
- Mehr als 10 Jahre klinische Erfahrung
- Rund 1 Mio. Implantationen
- Kein Glistening
- Hervorragende Materialeigenschaften



Glasübergangstemperatur T_g

Die Glasübergangstemperatur T_g (engl. glass transition temperature) ist die Temperatur, bei der ein Polymer vom hartelastischen, spröden Zustand in den flexiblen Zustand übergeht. Jeder Kunststoff wird durch seine spezifische T_g charakterisiert.



niedrige T_g =
Bessere Handhabung
und weiches Entfalten
bei
der Implantation

SEMTE – Glasübergangstemperatur T_g

T_g-Werte bei IOL-Materialien:

- SEMTE von Medicontur $T_g = 4^\circ\text{C}$
- andere hydrophobe IOL: $T_g = 11,0$ bis $12,21^\circ\text{C}$
- PMMA: $T_g = 105^\circ\text{C}$

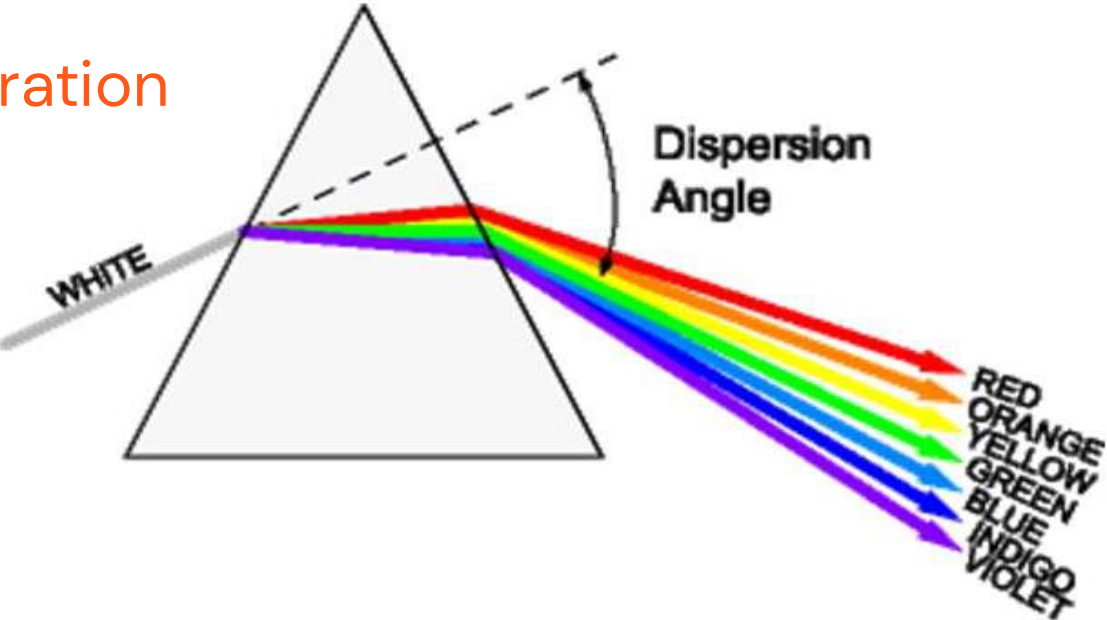
Je weiter die Temperatur bei der Implantation von der T_g des IOL-Materials entfernt ist, desto flexibler und weniger rigide verhält sich die Linse.

Bei relativ niedrigen Temperaturen im OP kann es daher bei Linsenmaterialien mit hoher T_g zu Problemen beim Falten/Implantieren und Entfalten kommen.

niedrige T_g (4°C)

Bessere Handhabung
und weiches Entfalten
bei
der Implantation

Chromatische Aberration



hohe chromatische Aberration
(Niedrige ABBE-Zahl, hoher RI)



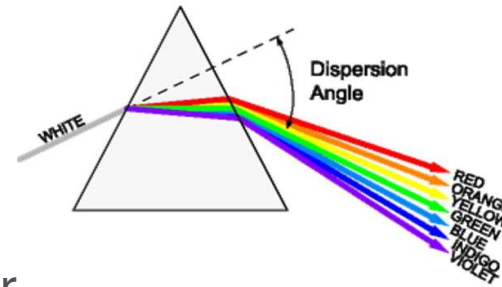
geringe chromatische Aberration
(Hohe ABBE-Zahl, geringer RI)

SEMTE – ABBE-Zahl

Die Abbe-Zahl, auch Abbesche Zahl, ist eine dimensionslose Größe, die die optisch-dispersiven Eigenschaften eines Materials charakterisiert. Sie gibt an, wie stark sich der refraktive Index (RI) mit der Wellenlänge ändert, also wie hoch die chromatische Aberration ist. Je größer die ABBE-Zahl, desto geringer ist die chromatische Aberration

ABBE-Zahlen im Vergleich

- **SEMTE von Medicontur: ABBE = 58**
- **andere hydrophobe IOL: ABBE = 37 bis 55**



hohe ABBE-Zahl
(58)

Geringere chromatische
Aberration – bessere
Bildqualität

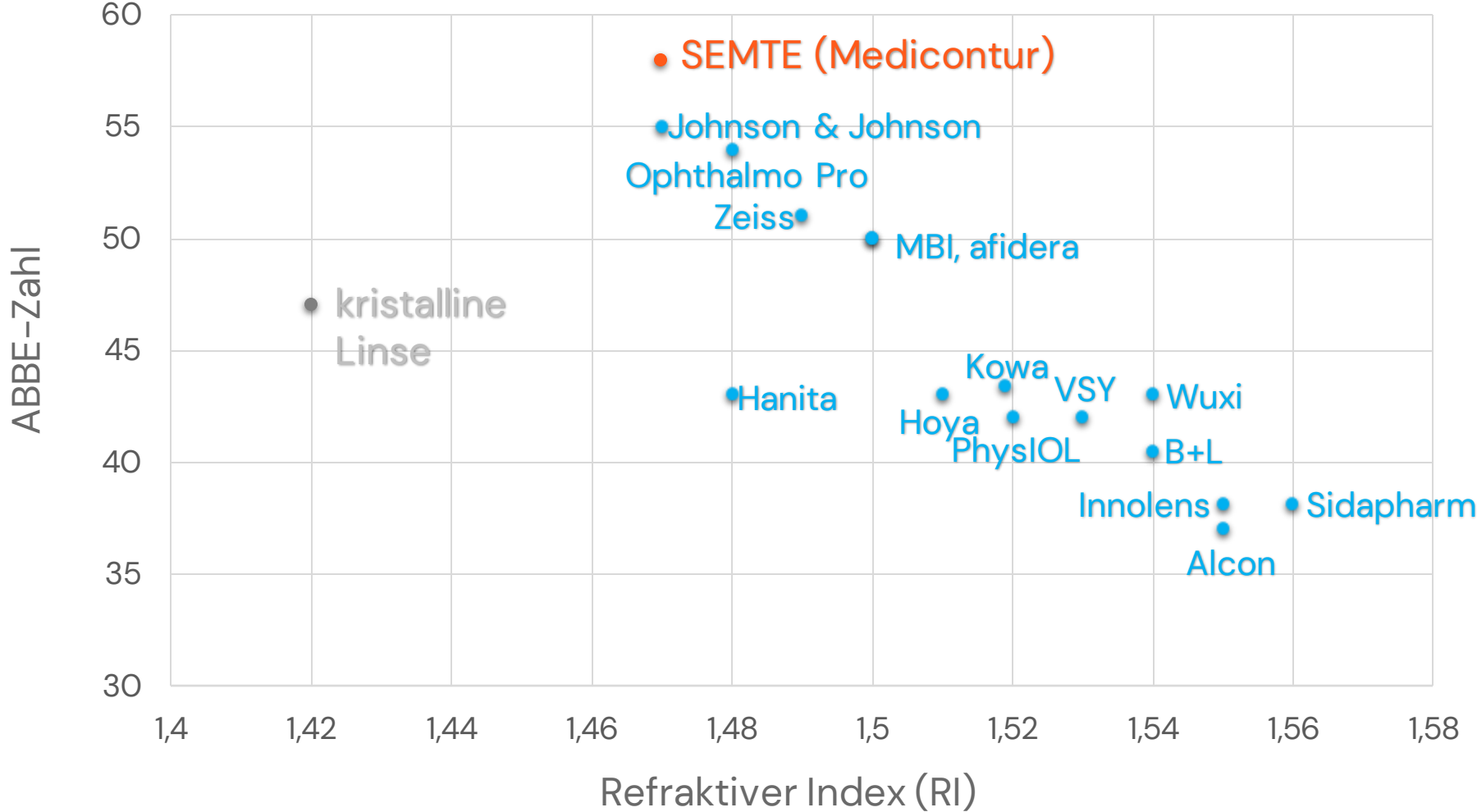


Niedrige ABBE-Zahl, hoher RI
hohe chromatische Aberration



Hohe ABBE-Zahl, geringer RI
geringe chromatische Aberration

SEMTE – ABBE-Zahl und RI



SEMTE – Nutzen

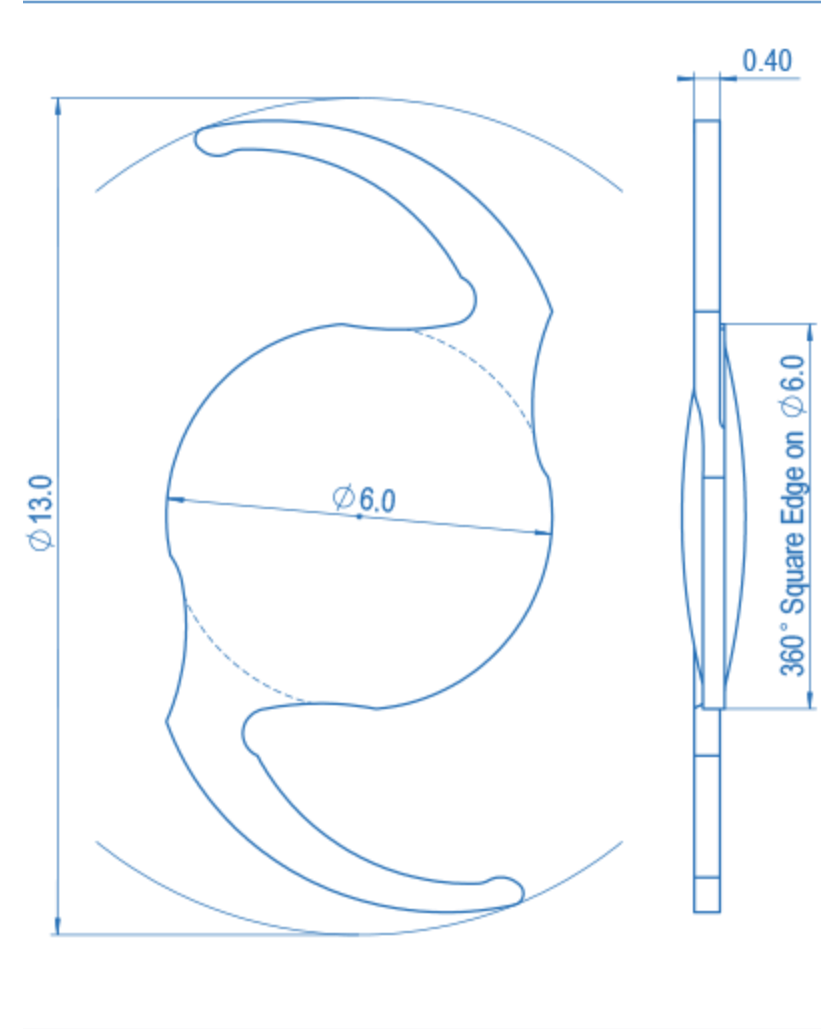
| Eigenschaft | | Nutzen |
|-------------------|-------------|--|
| Tg | 4°C | weiche Entfaltung, auch bei geringeren Temperaturen, bessere Handhabung |
| ABBE-Zahl | 58 | überlegene optische Qualität durch geringere chromatische Aberration |
| Refraktiver Index | 1,47 | nahe dem der kristallinen Linse (1,43) kein Glistening, hohe Abbildungsqualität |
| Asphärizität | neutral | universell einsetzbar kein Verlust von Tiefenschärfe |
| Scharfe Kante | 360°, 10 µm | Nachstarprophylaxe |

SEMTE – Marktvergleich

| Hersteller | Herstellung | Kontaktwinkel Wasser | Wasserhegealt | Tg | RI | ABBE |
|-------------------|-------------------------|----------------------|---------------|-------------|-------------|-----------|
| Medicontur | Drehen (Kälte) | 87° | 0,4% | 4° | 1,47 | 58 |
| Alcon | Spritzguss | 88° | < 0,5% | 14,0-15,5°C | 1,55 | 37 |
| Bausch + Lomb | Drehen (Raumtemperatur) | 76° | 4,0 % | 15-20°C | 1,54 | 40,5 |
| Cristalens | Drehen (Kälte) | ? | < 1,0% | 11°C | 1,545 | ? |
| Hanita | Drehen (Kälte) | ? | < 2,0% | 10°C | 1,48 | 43 (49) |
| HOYA | Drehen | 85° | < 0,3% | 11°C | 1,52 | 42 |
| J&J | Drehen (Kälte) | 88° | < 0,5% | 12,2°C | 1,47 | 55 |
| KOWA | ? | ? | ? | ? | 1,519 | 43,3 |
| MBI | ? | ? | ? | ? | 1,5 | 50 |
| Nidek | ? | ? | ? | ? | 1,52 | ? |
| PhysIOL | ? | ? | ? | ? | 1,52 | 42 |
| Wuxi | drehen und fräsen | ? | < 0,5% | 11°C | 1,54 | 43 |
| Zeiss | ? | 88° | 0,3 % | ? | 1,49 | 50 |

Z-Felx – Design

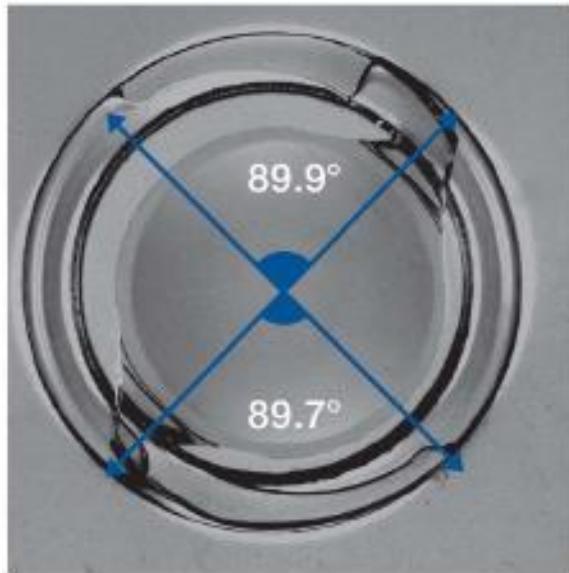
- **Angenehme Handhabung durch**
 - Spontanes und symmetrisches Entfalten
- **Exzellente Ergebnisse durch**
 - Reproduzierbare Zentrierung
 - 180° Kontaktwinkel zwischen Haptiken und Kapselsack
 - ✓ Exzellente Stabilität
 - ✓ Optimales Aufspannen des Kapselsackes
 - ✓ 360° scharfe Kante > Nachstraprophylaxe



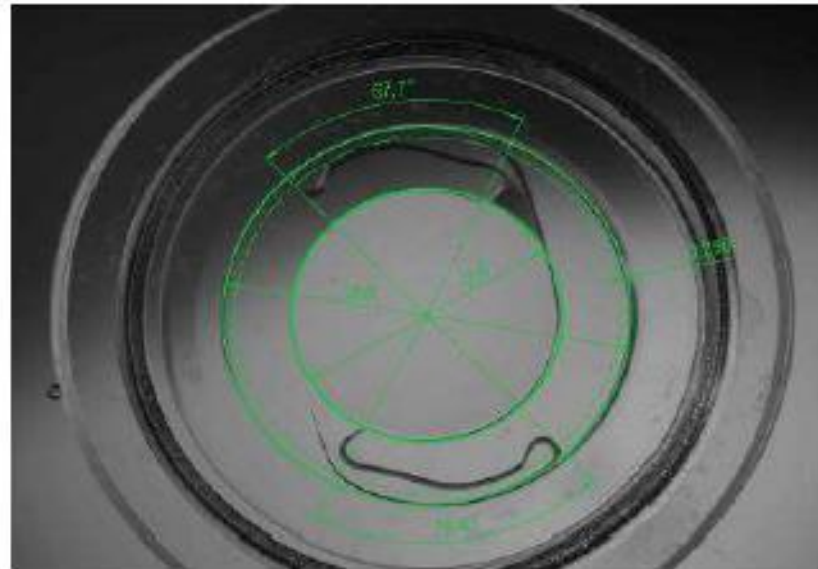
Z-Flex - Design

Kontaktwinkel mit dem Kapselsack

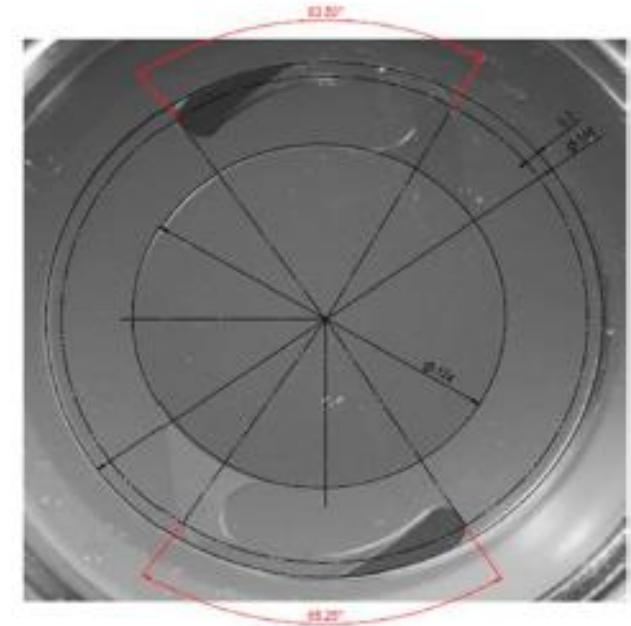
Experimental simulator with a diameter of **9 mm**



1stQ Basis Z
Average contact angle: 88.8°



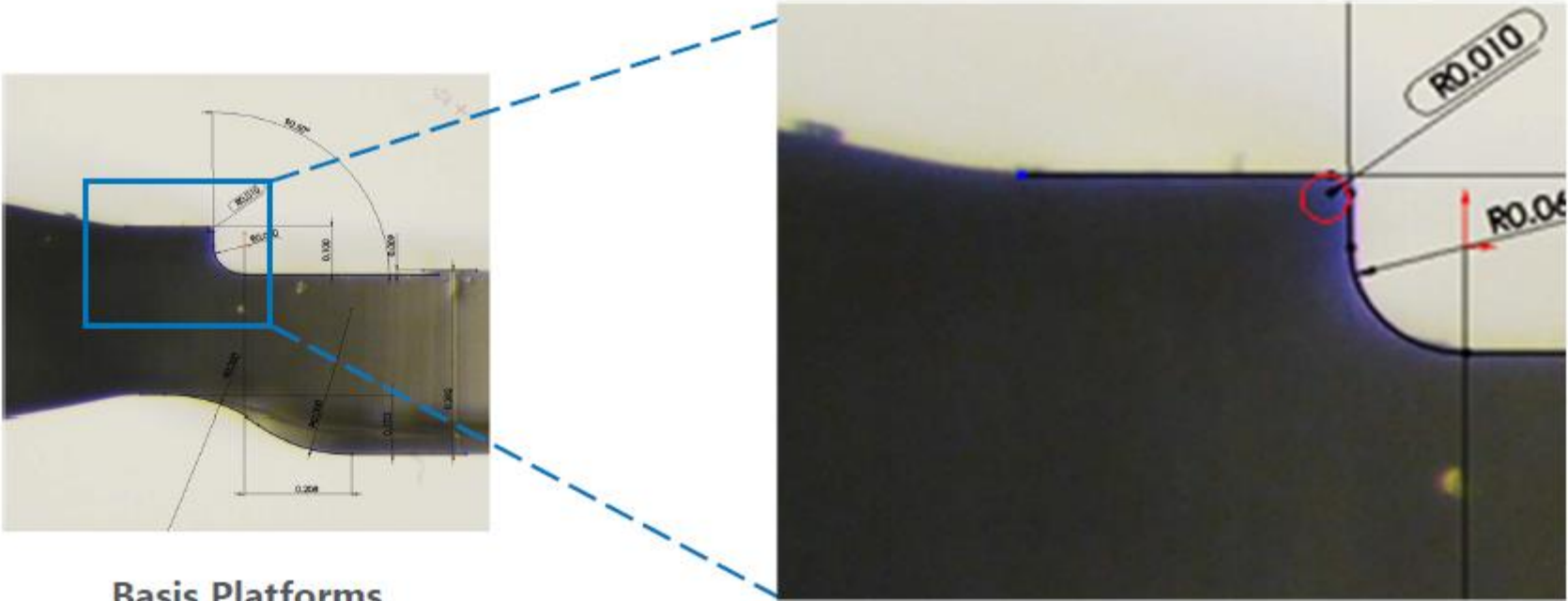
Competitor 1
Average contact angle: 69°



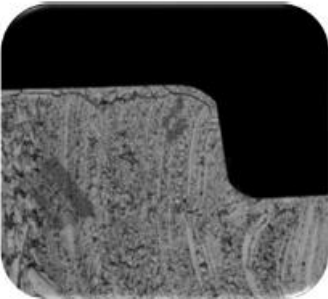
Competitor 2
Average contact angle: 64.4°

Z-Flex

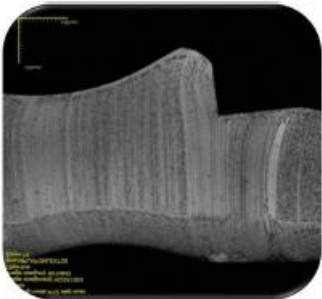
360° scharfe Kante



Basis Platforms 10 microns



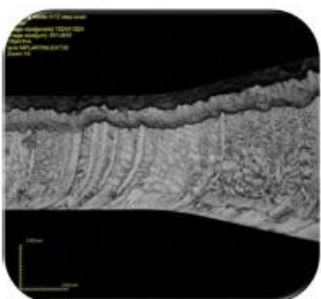
Comp 1
35 microns (B)



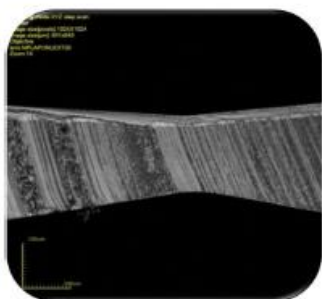
Comp 2
60 microns (P)



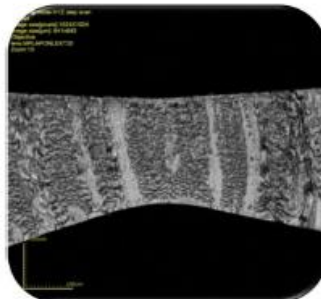
Comp 3
25 microns (R)



Comp 4

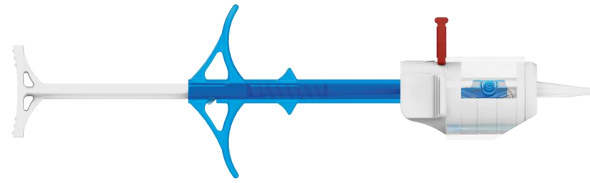


Comp 5



Comp 6

Eigenschaften



Z-FLEX HB POB-MA PRELOADED: 860PA / 860PAY

Vorgeladenes Injektions-System für die hydrophobe Z-Flex-IOL zur einfachen, sicheren und vorhersagbaren Implantation in den Kapselsack.

| | |
|------------------|---|
| Linsentyp: | einteilige, asphärische hydrophobe Acryl-IOL |
| Durchmesser: | 6,00 mm Optik / 13,00 mm Gesamtdurchmesser |
| Material: | hydrophobes Acryl mit UV-Filter |
| Asphäre: | Aberrationsneutral |
| Blaulichtfilter: | optional („Natural Yellow“) |
| Haptik: | 0° Anwinkelung |
| Lieferbereich: | Standard: 0,0 D bis +9,0 D (1,0 D-Stufen) und +10,0 bis +30,0 D (0,5D-Stufen) Extrem: -10,00 D bis -1,0 D und +31,0 D bis +35,0 D (1,0 D-Stufen) |
| PCO-Schutz: | 360° scharfe Kante |

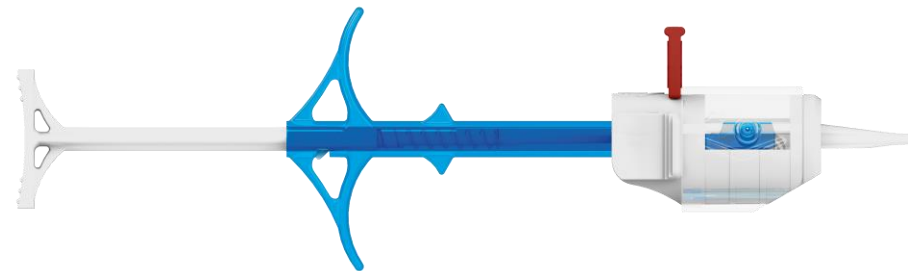
POB-MA: Injektor und Handhabung

Version P2

- Neue, kleinere Kartuschenspitze: Implantation durch echte 2,2 mm
- Mit allen Arten von Visco verwendbar



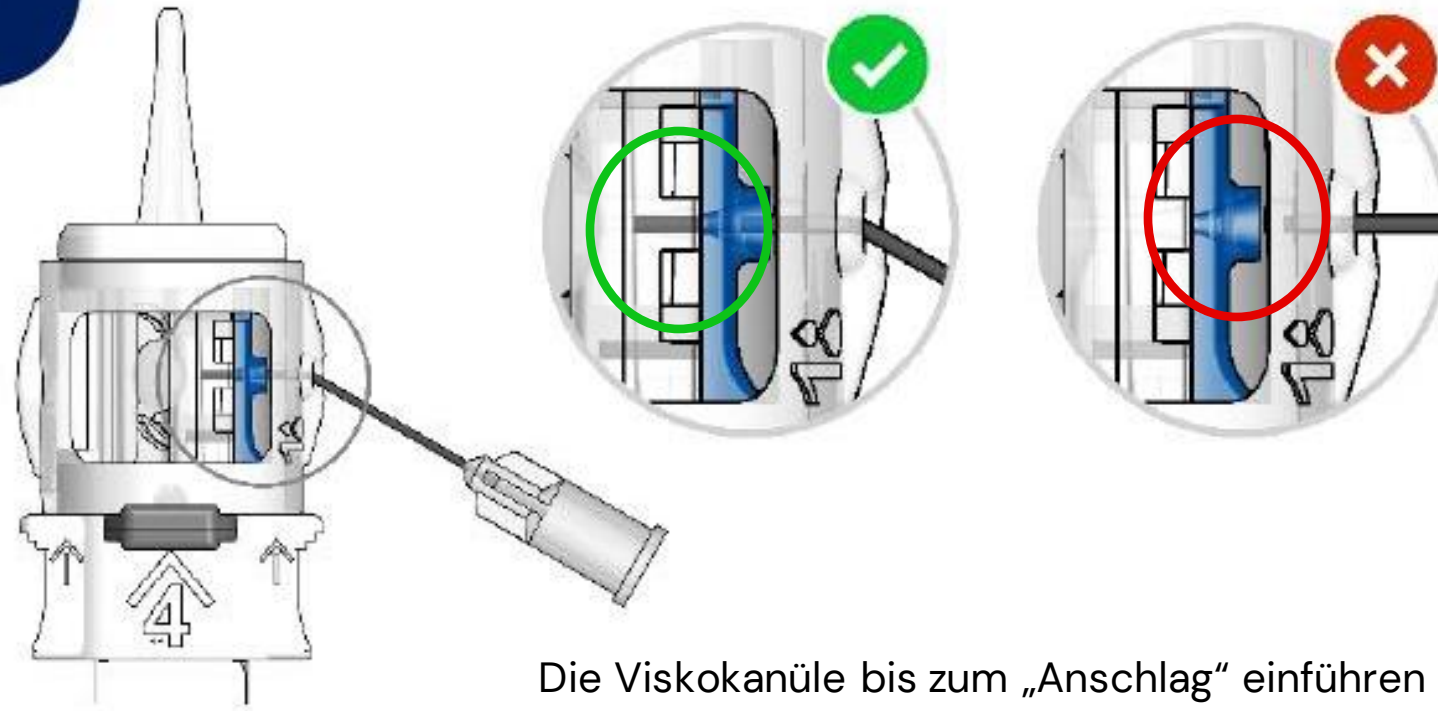
Handhabung POB-MA (P2)



Handhabung POB-MA (P2)

Einfüllen des Viskos

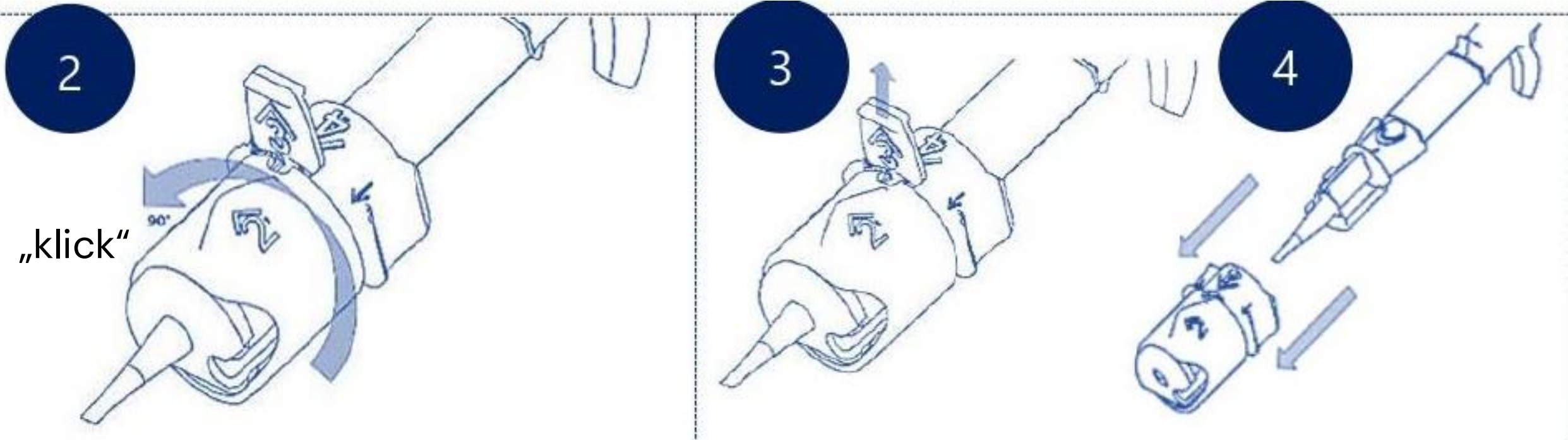
1



Die Viskokanüle bis zum „Anschlag“ einführen

Handhabung POB-MA (P2)

Falten der IOL

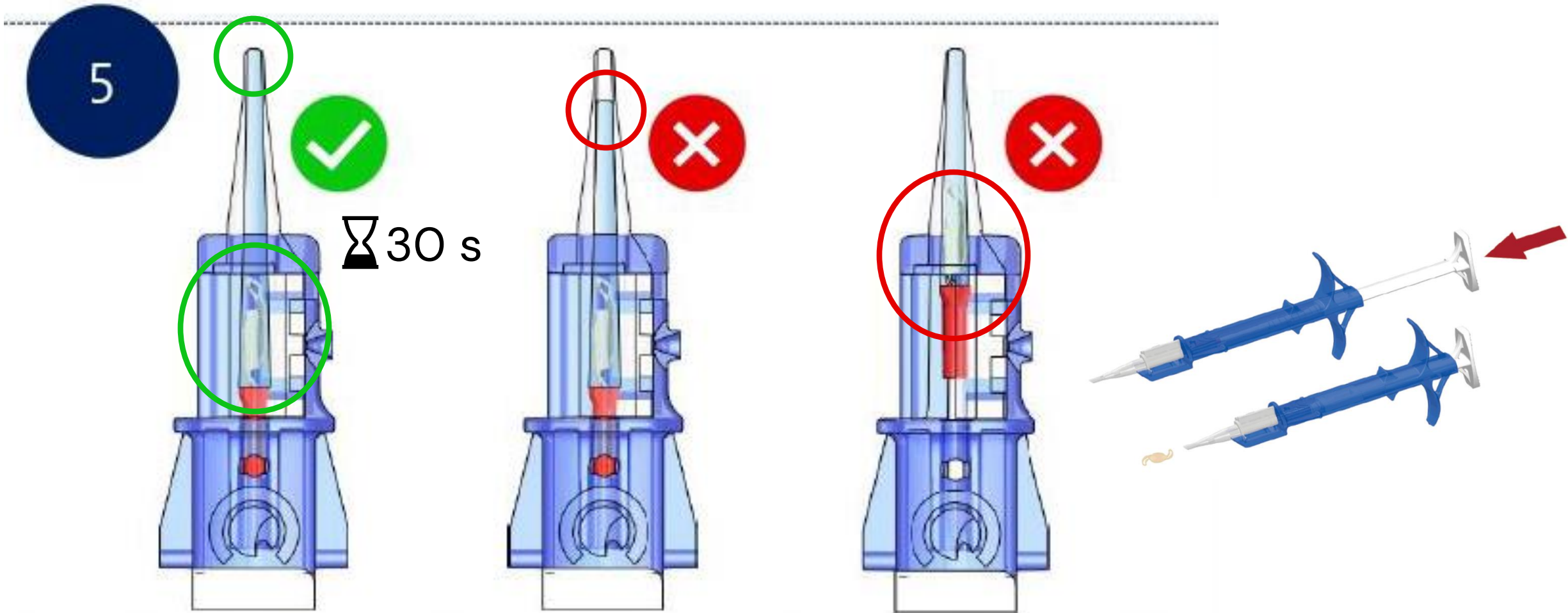


2: „Trommel“ um 90° bis zum „klick“ drehen

3: Roten Sicherungsstift herausziehen und 4: Trommel abziehen

Handhabung POB-MA (P2)

Aktivieren des Gleitfilmes



Stempel nach vorne schieben, bis das Visko die Kartuschenspitze erreicht hat. In dieser Position für ca. 30s belassen. Die IOL sollte sich dabei noch in der Ladekammer befinden.